

Рис. 12. Разрез южной стенки траншеи поперёк Левантского разлома

A — фото Д.М. Бачманова и А.Е. Додонова; В — разрез

1 — трещины с кальцитовым и гематитовым заполнением; 2 — крепкие слоистые карбонатные породы; 3 — места сбора образцов на ^{14}C (C_1 – C_4) и палеомагнитное (M_1 – M_4) датирование; 4 — современная почва (бурый суглинок с гравием), показано место сбора керамики (К); 5 — рыхлый светлый алеврит с гравием и камнями (поздний плейстоцен?); 6, 7 — красноватая глина: 6 — с гравием и камнями, 7 — пластичная; 8–13 — алеврит: 8 — светлый желтовато-серый, 9 — жёлтый, 10 — тёмный желтовато-коричневый, 11 — светлый жёлтый с гравием, 12 — жёлтый с гравием, 13 — тёмный желтовато-коричневый с гравием. Отложения, обозначенные знаками 2, 8–13, относятся к плиоценовому заполнению грабена зоны разлома. Красноватые глины (знак 7) и глины с камнями (знак 6) представляют собой тектониты и коллювиальные клинья разного возраста

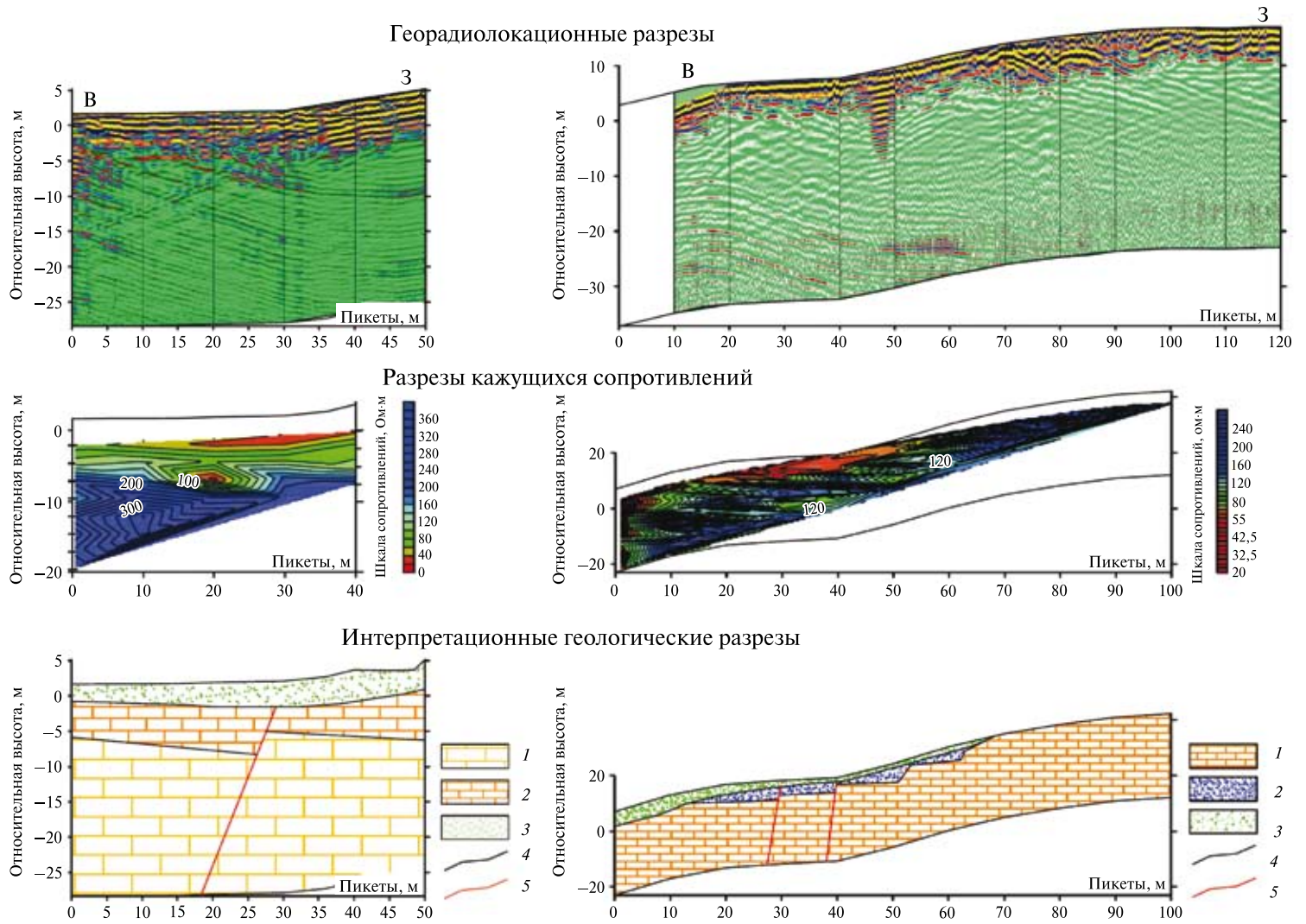


Рис. 66. Геофизические профили 1 участка «Аль Хариф»

1 — скальный цоколь; 2 — слой-индикатор цоколя; 3 — рыхлые наносы; 4 — геологические границы; 5 — разлом

Рис. 67. Геофизические профили 2 участка «Аль Хариф»

1 — скальный цоколь; 2 — дезинтегрированные скальные породы; 3 — рыхлые наносы; 4 — геологические границы; 5 — разломы (с высокой вероятностью)

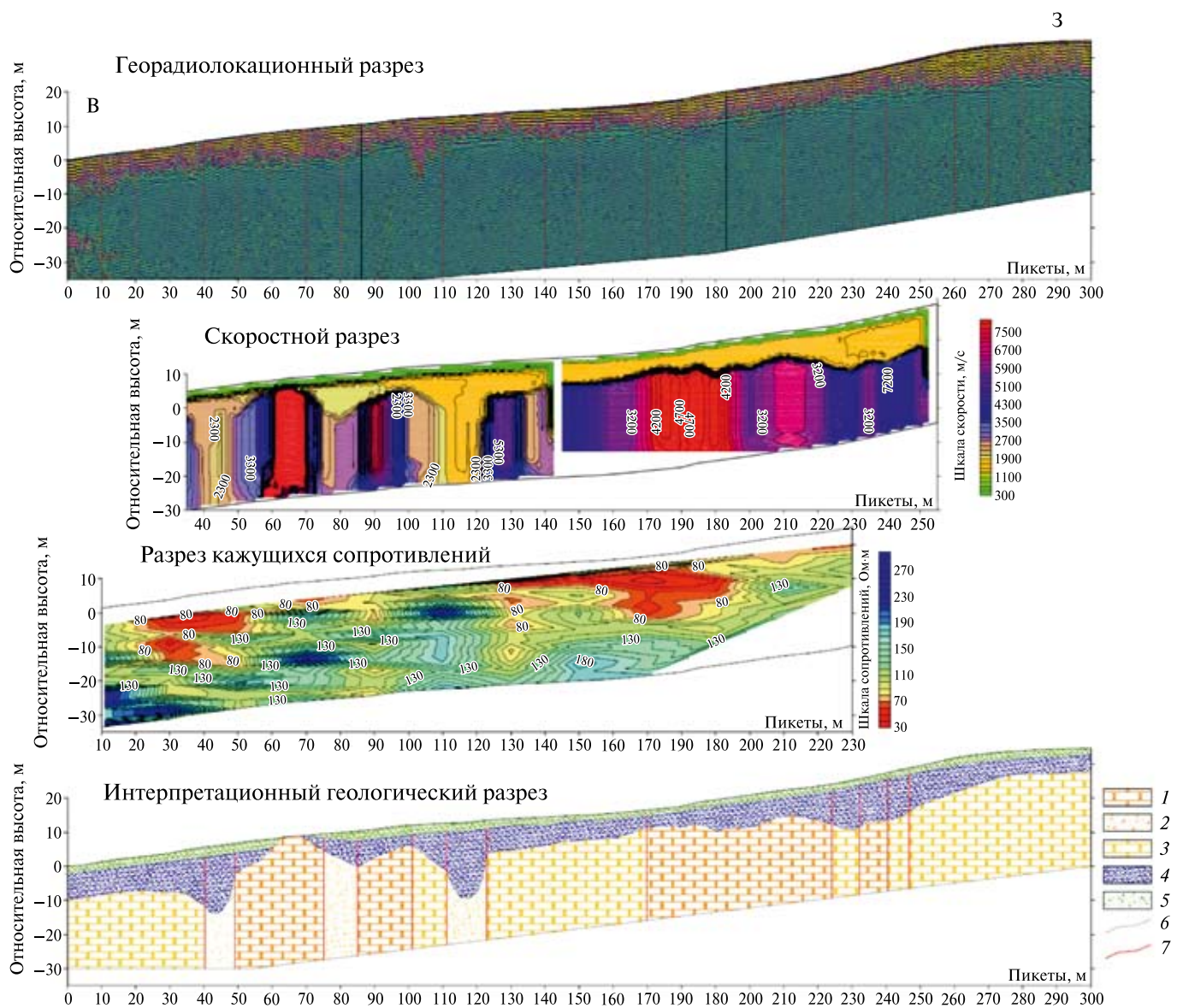


Рис. 68. Геофизические профили 3 участка «Аль Хариф»

1 — скальный цоколь; 2 — дезинтегрированные скальные породы; 3 — высокотрещиноватые скальные породы; 4 — сильно дезинтегрированные скальные породы; 5 — рыхлые наносы; 6 — геологические границы; 7 — разлом

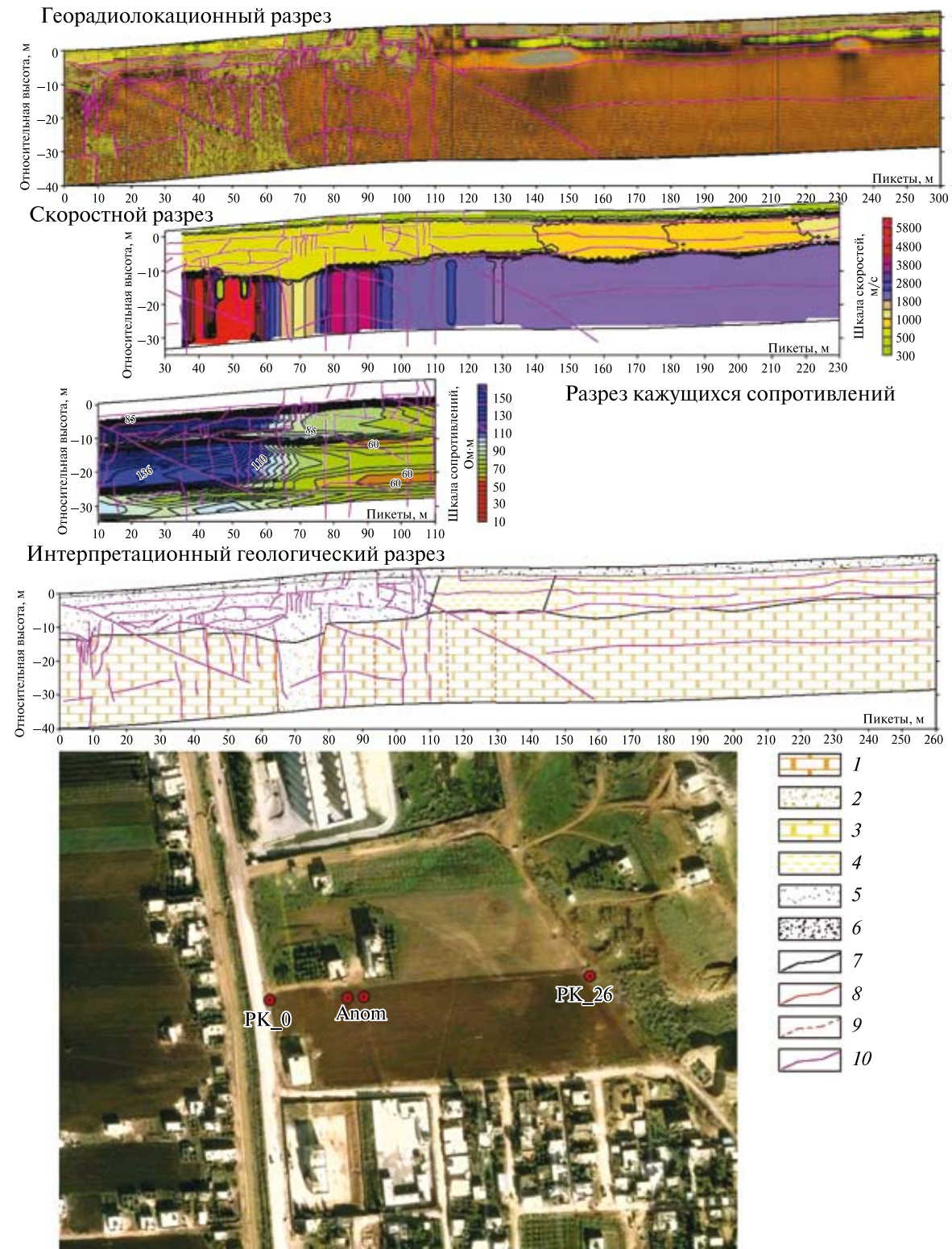


Рис. 69. Геофизические профили и изображение Quick Bird (внизу) участка «Афамия»
 1 — скальный цоколь; 2 — высокотрещиноватые скальные породы; 3 — выветрелые скальные породы; 4 — переходная зона между скальными и обломочными породами; 5 — обломочные отложения; 6 — рыхлые наносы; 7 — геологические границы; 8 — разломы (с высокой вероятностью); 9 — предполагаемые разломы; 10 — граница, выделенная по георадиолокационным данным

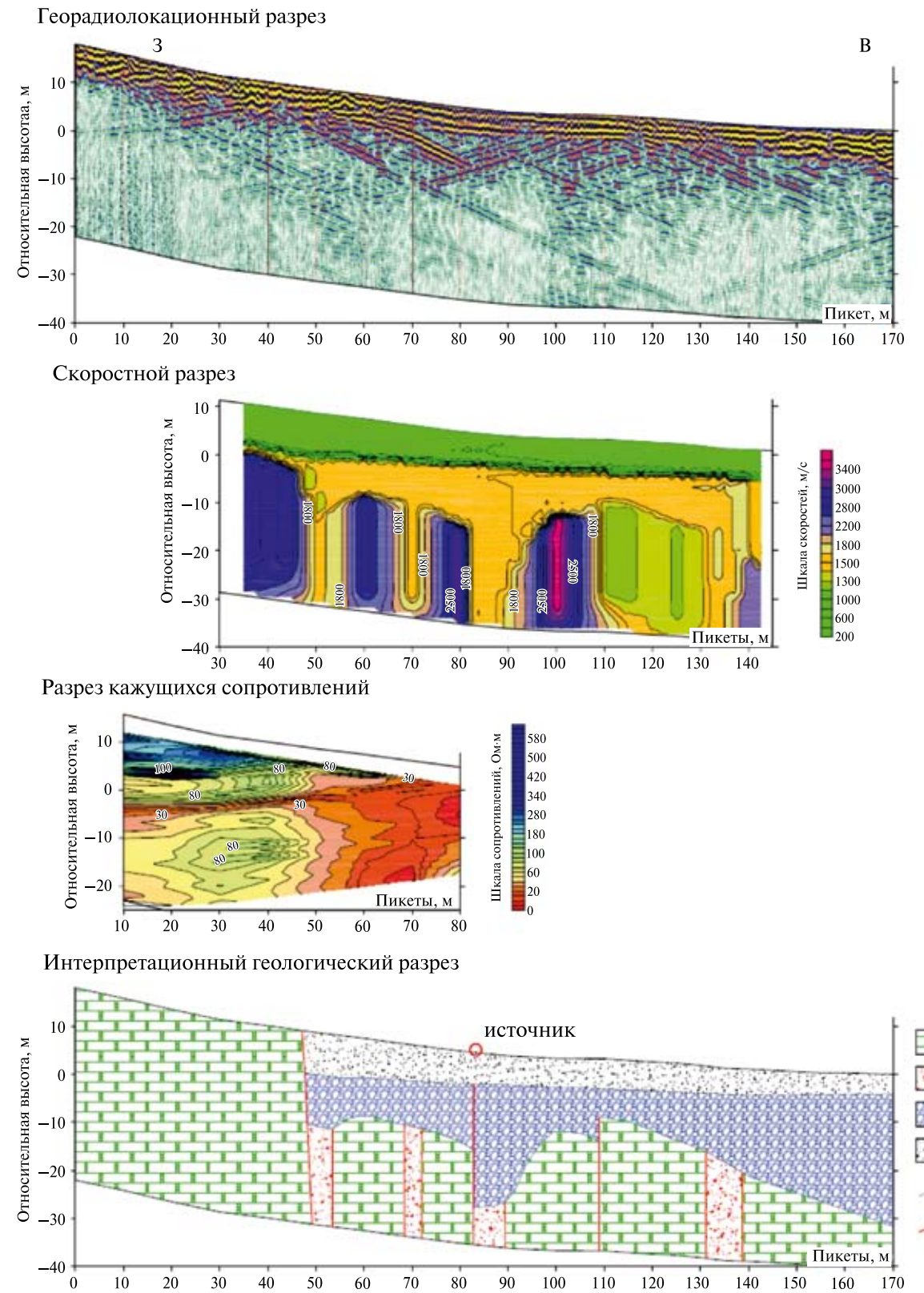


Рис. 70. Геофизические профили участка «Эйн Эль-Курум»
 1 — скальный цоколь; 2 — высокотрещиноватые скальные породы; 3 — обломочные отложения; 4 — рыхлые наносы; 5 — геологические границы; 6 — разломы

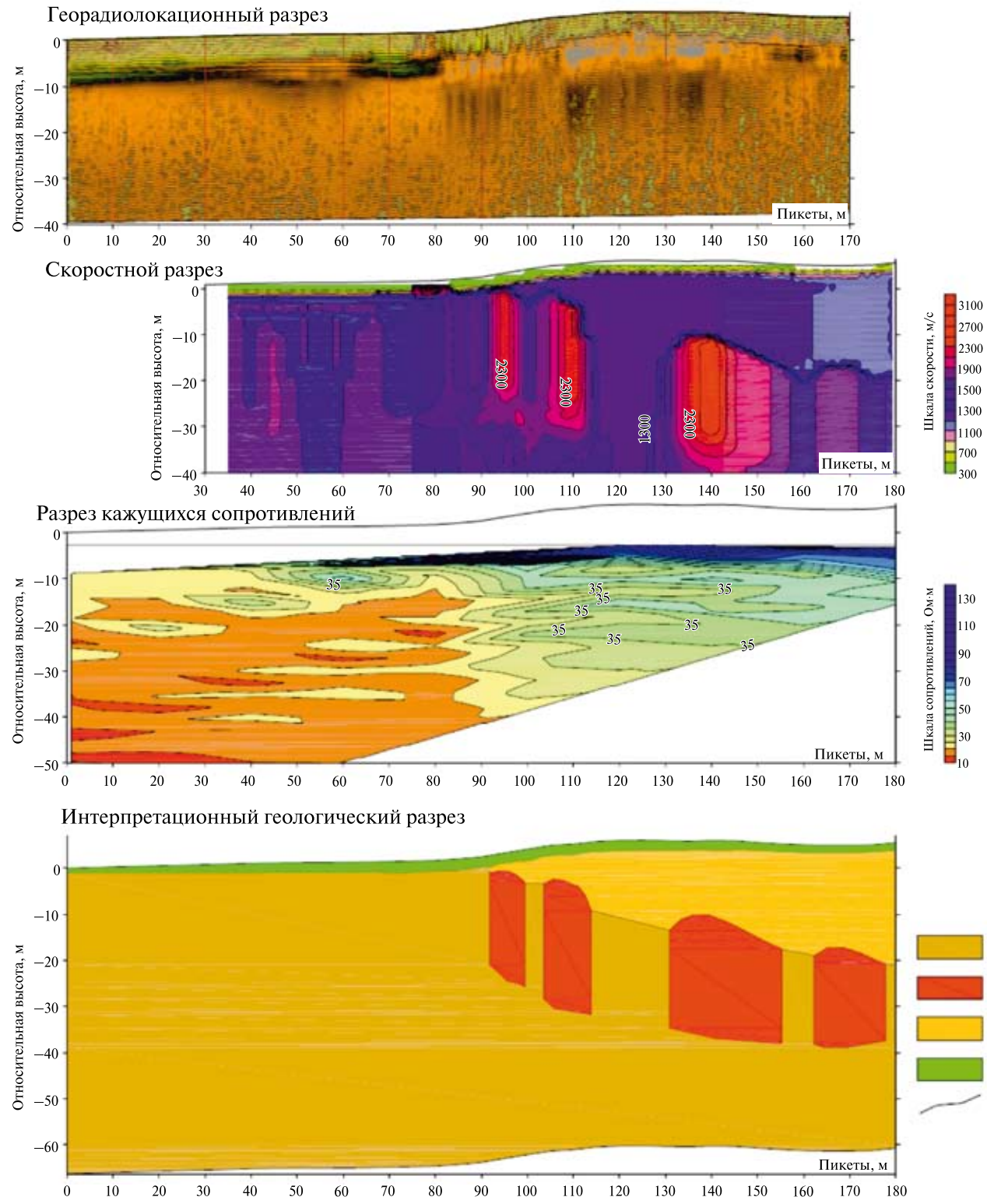


Рис. 71. Геофизические профили участка «Оползень Эль-Габа»

1 — нижние тонкообломочные отложения; 2 — блоки плотных юрских пород, разделённые рыхлыми отложениями; 3 — обломки юрских пород в рыхлом матриксе; 4 — рыхлые наносы; 5 — геологические границы

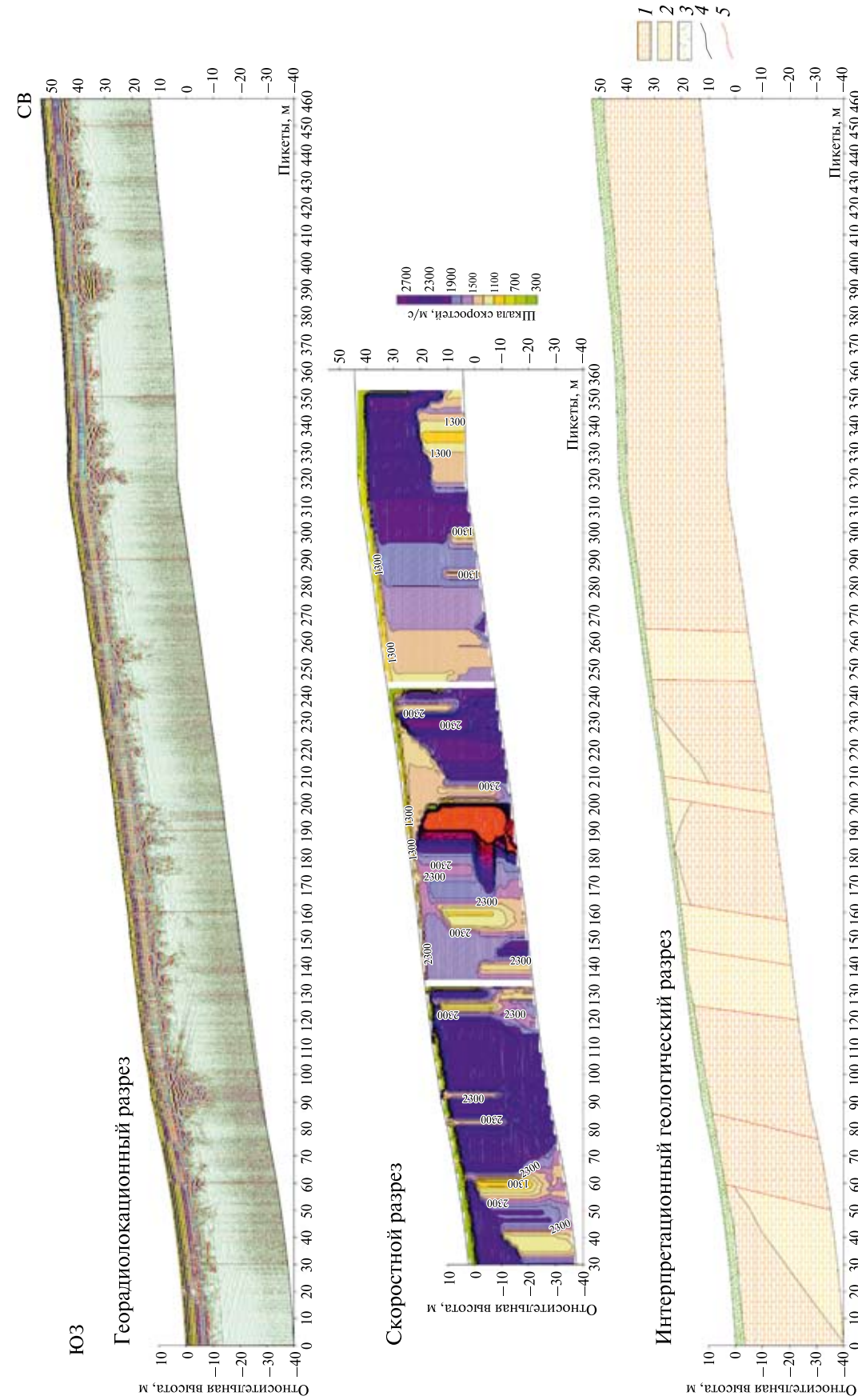


Рис. 73. Геофизические профили участка «Калат Симан» юго-западнее монастыря

1 — скальный покров; 2 — дезинтегрированные скальные породы; 3 — рыхлые наносы; 4 — геологические границы; 5 — разломы (с высокой вероятностью)

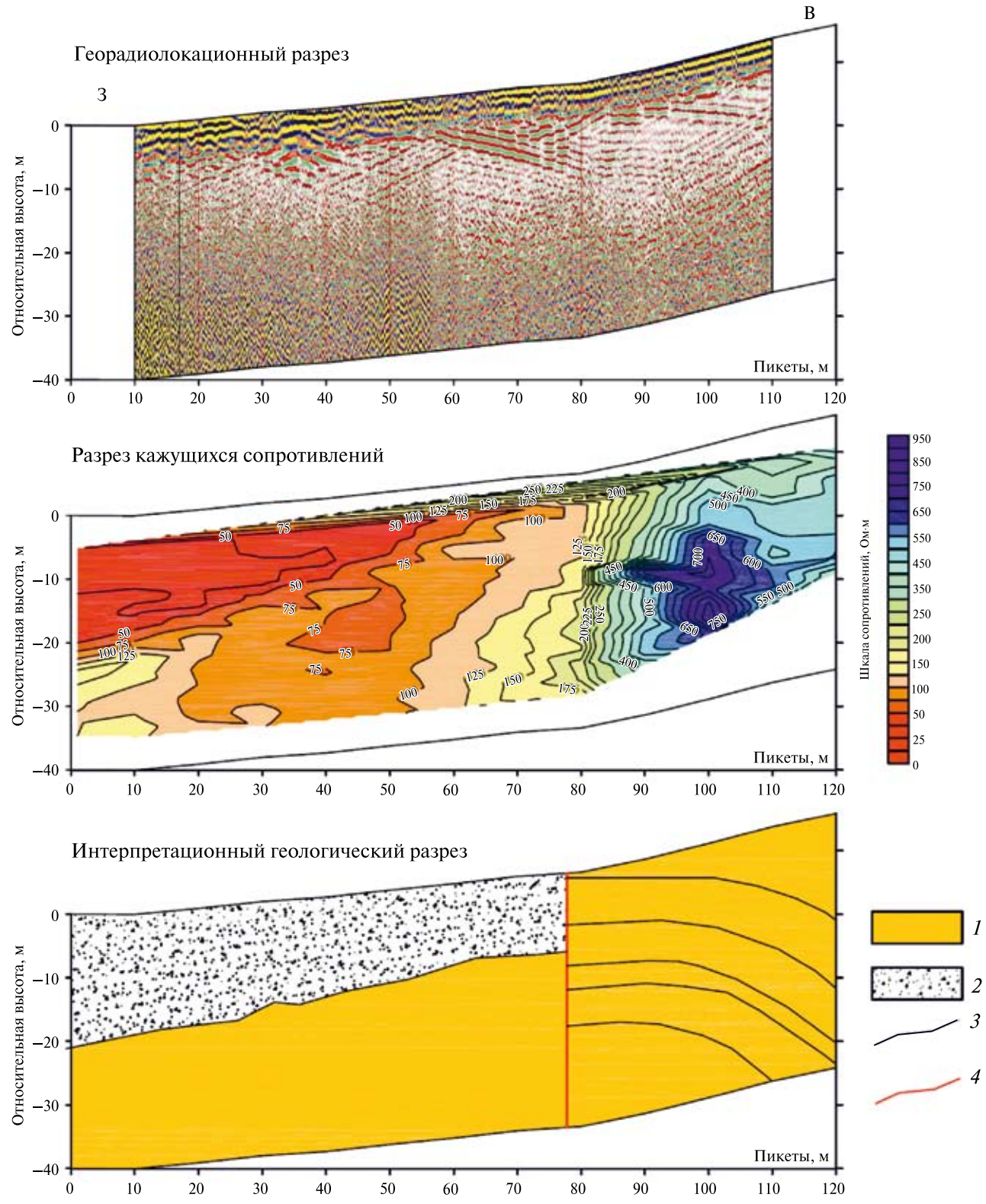


Рис. 74. Геофизические профили участка «Серхайя-Забадание»
 1 — скальный покров; 2 — рыхлые наносы; 3 — геологические границы; 4 — разлом

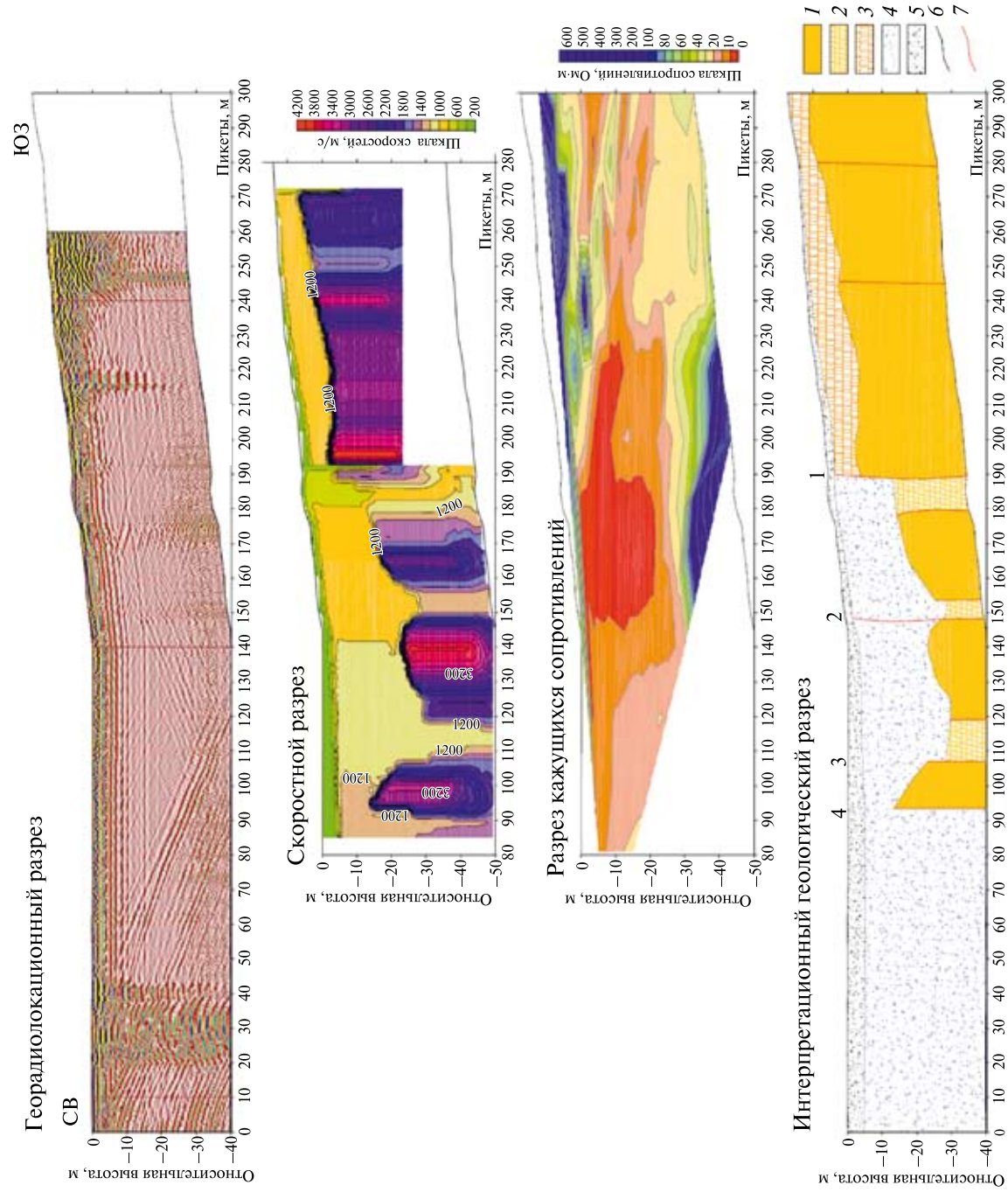


Рис. 75. Геофизические профили участка «Евфратский разлом»

1 — тортоновый покров; 2 — высокотрещиноватые породы покола; 3 — дезинтегрированные породы покола; 4 — обломочные отложения; 5 — рыхлые наносы; 6 — геологические границы; 7 — разломы. Видимое вертикальное смещение эрозионной поверхности тортона по ветви 1 составляет ~15 м. Смещение по ветви 2 меньше, но эта ветвь нарушает аллювий I террасы и выражена на поверхности слабым стлаженным уступом. Ветви 3 и 4 ограничивают узкий горст, не выраженный на земной поверхности. Общее смещение поверхности тортона по всем ветвям Евфратского разлома — ≥ 25 м

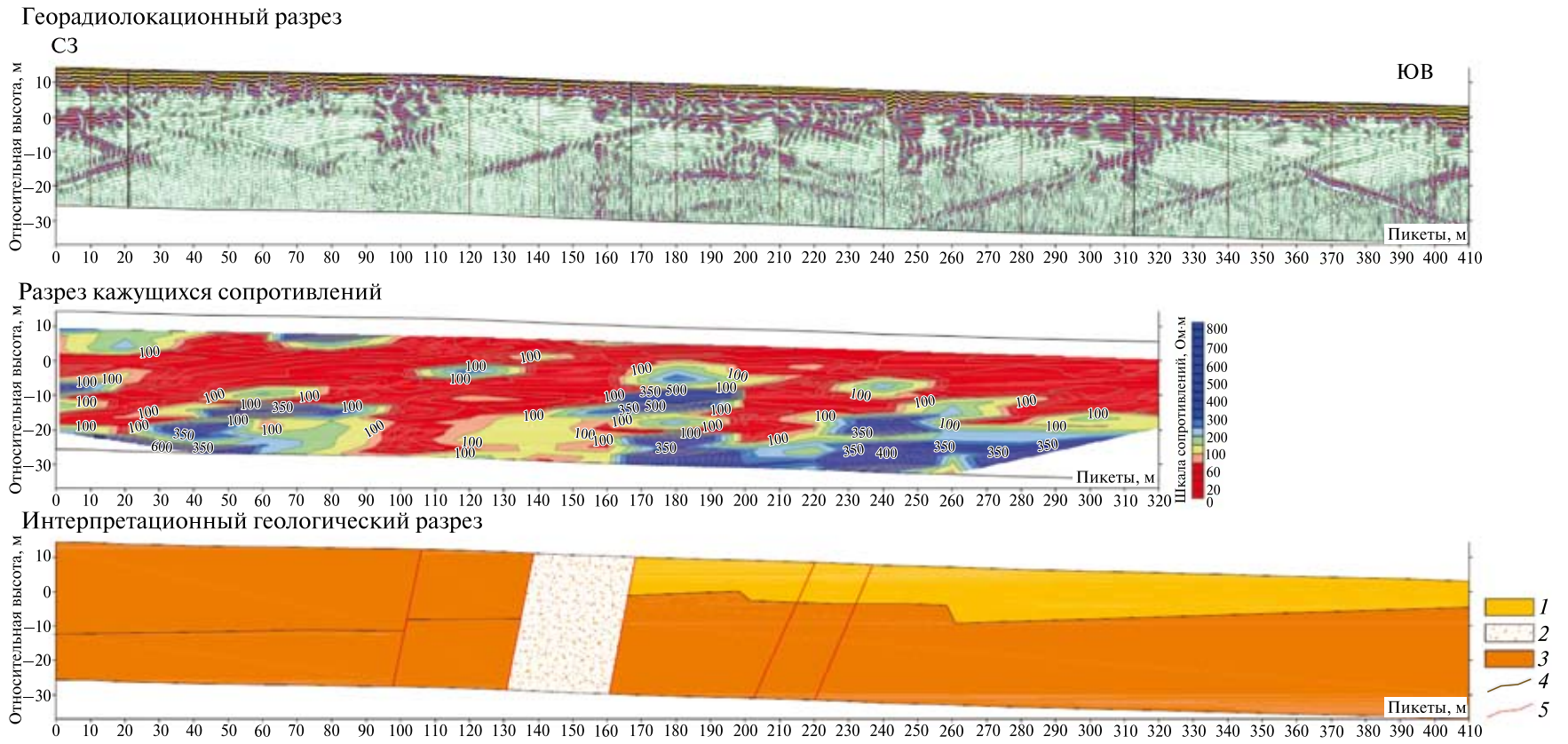


Рис. 76. Геофизические профили участка «Дамасский разлом»
 1 — выветрелые породы цоколя; 2 — высокотрещиноватые скальные породы; 3 — скальный цоколь; 4 — геологические границы; 5 — разломы

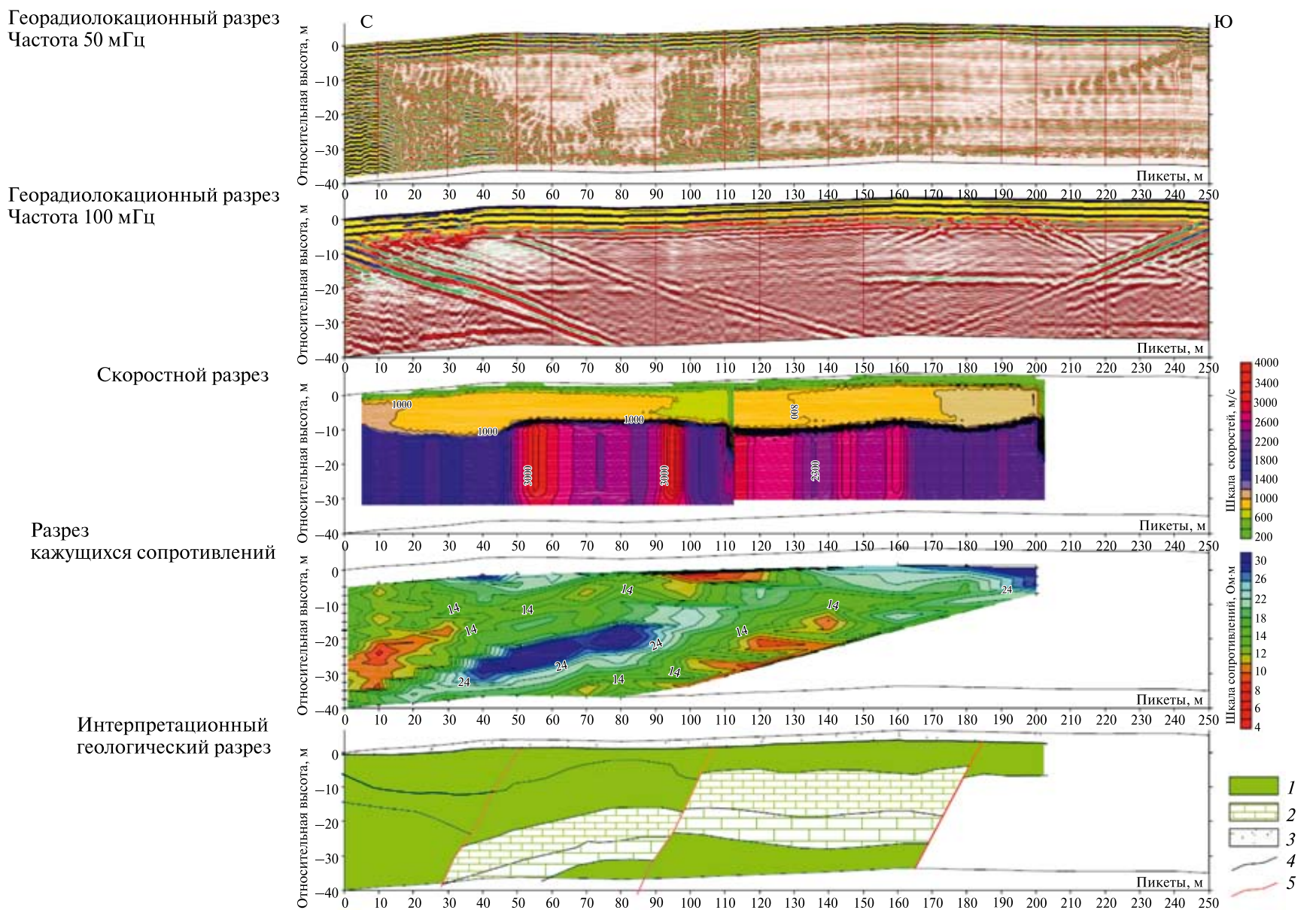


Рис. 77. Геофизические профили участка «Джхар-восточный»
 1 — скальный цоколь; 2 — слой-индикатор цоколя; 3 — рыхлые наносы; 4 — геологические границы; 5 — разломы

